


## تهیه، شناسایی و بررسی فعالیت پادباکتری چندسازه‌های فیبری چندجزئی پلی‌اکریلونیتریل/چارچوب فلز-آلی نقره/نانوذره‌های کیتوسان/N-استیل‌سیستین

زینب انصاری اصل<sup>۱\*</sup>، حدیث رشیدی کیا<sup>۲</sup> و اسماعیل داراب‌پور<sup>۳</sup>

۱. دانشیار گروه شیمی، دانشگاه شهید چمران اهواز، اهواز، ایران.
۲. دانشجوی کارشناسی ارشد گروه شیمی، دانشگاه شهید چمران اهواز، اهواز، ایران.
۳. استادیار گروه زیست‌شناسی، دانشگاه شهید چمران اهواز، اهواز، ایران.

دریافت: بهمن ۱۴۰۲ بازنگری: شهریور ۱۴۰۲ پذیرش: شهریور ۱۴۰۳

 <https://doi.org/10.30495/JACRI.1403.1044875>

### چکیده

در این کار پژوهشی، چندسازه‌های فیبری با ویژگی پادباکتری شامل پلی‌اکریلونیتریل، نانوذره‌های کیتوسان (CSNPs)، چارچوب فلز-آلی نقره و N-استیل‌سیستین (NAC) به روش الکتروریسی تهیه شدند. فیبرهای تهیه‌شده با روش‌های طیف‌سنجی فروسرخ تبدیل فوریه (FTIR)، پراش پرتو ایکس (XRD)، میکروسکوپی الکترونی روبشی (SEM) و نگاشت عنصری شناسایی شدند. نتیجه‌های به-دست‌آمده از بررسی ویژگی پادباکتری ترکیب‌های تهیه‌شده در برابر باکتری‌های گرم منفی *اشریشیا کلی* و گرم مثبت *استافیلوکوکوس اورئوس* نشان داد افزودن چارچوب فلز-آلی نقره و همچنین، ترکیب‌های پادباکتری کیتوسان و NAC منجر به بهبود ویژگی پادباکتری فیبرها شدند؛ به‌گونه‌ای که نانوفیبر PAN/0.5%Ag-MOF/10%CSNPs/5%NAC بیشترین اثر را در کاهش تعداد سلول‌های *اشریشیا کلی* و *استافیلوکوکوس اورئوس* نشان داد. از این رو، می‌توان گفت این ترکیب‌ها قابلیت کاربرد در زمینه‌های پزشکی مانند استفاده به‌عنوان زخم‌پوش را دارند.

**واژه‌های کلیدی:** چارچوب فلز-آلی، کیتوسان، N-استیل‌سیستین، پلی‌اکریلونیتریل، چندسازه، فعالیت پادباکتری.

### مقدمه

بدن به تنهایی قادر به ترمیم زخم نیست. بنابراین، به‌کارگیری تجهیزات کمکی الزامی است. زخم‌پوش‌ها از زخم در برابر عفونت و ریزاندامگان‌ها محافظت و حذف اجسام خارجی از اطراف بافت‌های آسیب‌دیده و عفونی را فراهم می‌کنند [۱ و ۲]. در طول چند دهه گذشته، یون‌ها و اکسیدهای فلزی مبتنی

فرایند ترمیم زخم در بدن موجودات زنده، فرایندی پیچیده است که پس از وارد آمدن آسیب آغاز می‌شود. این فرایند بسیار زمان‌بر است و اثر طولانی‌مدت زخم بر بدن بیمار، مشکل‌های بسیاری ایجاد می‌کند. در برخی موردها، به‌دلیل شرایط محیطی،

بلوری بسیار منظم کمک می‌کند، بیشترین توجه را به خود جلب کرده‌اند. در سال ۲۰۱۱ میلادی برچل<sup>۲</sup> و همکارانش، چارچوب فلز-آلی نقره متشکل از یون نقره و لیگاند ۳-فسفونوبنزوئیک اسید حاوی دو گروه عاملی کربوکسیلیک اسید و فسفونیک اسید را معرفی و گزارش کردند. که با آزادسازی مداوم یون نقره منجر به از بین بردن موثر باکتری‌ها شد [۸ تا ۱۰]. با وجود مزایای بارز چارچوب‌های فلز-آلی، این ترکیب‌ها به‌طور معمول به شکل پودر بلوری، شکننده و نامحلول وجود دارند که استفاده از آن‌ها در صنایع را محدود می‌کند. چارچوب‌های فلز-آلی پودری شکل را نمی‌توان به راحتی از زخم جدا کرد. همچنین، تماس مستقیم پودر با بستر زخم ممکن است موجب التهاب پوست و در نتیجه آهسته شدن روند بازسازی آن شود. تثبیت این ترکیب‌ها روی بسپارها و منسوجات (مانند الیاف و گاز) به-عنوان روشی کارآمد برای بهبود پایداری و ویژگی مواد MOF<sup>۳</sup> در نظر گرفته می‌شود [۱۱ تا ۱۳]. پلی‌اکریلونیتریل، بسپار آلی مصنوعی نیم‌بلوری سفید رنگ است که برای نخستین بار توسط رین<sup>۴</sup> در سال ۱۹۳۱ تهیه شد. این بسپار به‌عنوان یک بسپار ترموپلاستیک، دارای مقاومت شیمیایی خوب و ویژگی مکانیکی عالی است. الیاف به‌دست‌آمده از این بسپار در جذب فلزهای سنگین، هوافضا، کاتالیست‌ها و زخم‌پوش‌ها استفاده شده‌اند [۱۴ و ۱۵].

ژانگ<sup>۵</sup> و همکارانش در سال ۲۰۲۰ میلادی، نانوجندسازه فیبری چارچوب فلز-آلی شامل نقره و پلی‌لاکتیک اسید را به‌عنوان زخم‌پوش پادباکتری در برابر باکتری *اشریشیا کلی*<sup>۶</sup>، *استافیلوکوکوس اورئوس*<sup>۷</sup>، *سودوموناس آئروژینوسا*<sup>۸</sup> و *مایکوباکتریوم اسمگماتیس*<sup>۹</sup> گزارش کردند [۱۳]. در سال ۲۰۲۲ میلادی انصاری اصل و همکارانش، نانوجندسازه اسفنجی از

بر مس، روی و نقره با ویژگی پادباکتری برای از بین بردن یا مهار باکتری‌ها در اطراف زخم استفاده شده‌اند. با این حال، استفاده از این ترکیب‌ها به دلیل سمیت ناشی از آزادسازی سریع یون‌های فلزی محدود است. مطالعه در زمینه مواد جدیدی که امکان آزادسازی واپایش شده یون‌های با فعالیت پادباکتری را فراهم کند، حوزه‌ای است که چارچوب‌های فلز-آلی می‌تواند در آن بسیار امیدوارکننده باشند [۳ و ۴].

چارچوب‌های فلز-آلی به‌عنوان گروهی از بسپارهای کوئوردیناسیونی متخلخل شناخته می‌شوند که دارای ویژگی‌هایی مانند مساحت سطح بالا، ساختار متخلخل، حفره‌های بسیار، زیست‌سازگاری و زیست‌تخریب‌پذیری هستند. این ترکیب‌ها از یون فلزی (گره) و لیگاند کوئوردیناسیونی تشکیل شده‌اند. در سال‌های اخیر چارچوب‌های فلز-آلی به دلیل عملکردهای متفاوت مانند تجزیه واپایش شده اجزاء با فعالیت پادباکتری، برهم‌کنش‌های قوی با غشای باکتری‌ها و همچنین، قابلیت بارگذاری بالا، نتیجه‌های امیدوارکننده‌ای برای کاربردهای پادباکتری نشان داده‌اند. افزون‌براین، لیگاند‌های آلی موجود در این ساختارها می‌توانند پادزیست‌ها یا حساس‌کننده‌های نوری باشند که گونه‌های فعال اکسیژن (<sup>۱</sup>ROS) را تولید می‌کنند و باکتری‌ها را بر اثر نور از بین می‌برند. از این‌رو، چارچوب‌های فلز-آلی به‌عنوان حامل، با بارگذاری ترکیب‌های پادباکتری مانند پادزیست‌ها، حساس‌کننده‌های نوری، پپتیدهای پادباکتری و سایر موارد می‌توانند به بهبود اثر پادباکتری کمک کنند [۵ تا ۷]. یون نقره دارای سمیت سلولی و پاسخ ایمنی کمتر، پایداری و ویژگی پادباکتریایی بهتری نسبت به سایر فلزها است. بنابراین، برای اهداف متفاوت مانند دارورسانی، تصویربرداری پزشکی و تشخیص مولکولی استفاده می‌شود. چارچوب‌های فلز-آلی نقره شامل لیگاند‌های آلی کربوکسیلات به دلیل اینکه تشکیل پیوندهای کوئوردیناسیونی فلز-کربوکسیلات به ساختارهای

1. Reactive oxygen species      2. Burchel      3. Metal-Organic Framework      4. Rein      5. Zhang  
6. *Escherichia coli* (*E. coli*)      7. *Staphylococcus aureus* (*S. aureus*)      8. *Pseudomonas aeruginosa*      9. *Mycobacterium smegmatis*

تهیه، شناسایی و بررسی فعالیت پادباکتری چندسازه‌های فیبری...

مواد و حلال‌های استفاده‌شده در این کار پژوهشی از شرکت مرک تهیه شدند. طیف‌های FTIR مواد جامد تهیه‌شده با دستگاه طیف‌نورسنج FTIR مدل BOME/MB 102 و قرص KBr ثبت شد. پراش پرتو ایکس نمونه‌ها با دستگاه X Pert Pro و تابش CuK $\alpha$  با طول موج ۱٫۵۴۱۸۴ آنگستروم انجام شد. تصویرهای SEM و نگاشت عنصری نمونه‌ها با میکروسکوپ الکترونی روبشی مدل‌های Tescan Mira3 و KYKY-EM3200 تهیه شدند.

تهیه چارچوب فلز-آلی  $Ag_2-[HBTC]-[im]$  به روش آب‌گرمایی

برای تهیه  $Ag_2-[HBTC]-[im]$  سه محلول شامل ۰٫۳۳ گرم (۱٫۹ میلی‌مول) نقره نترات در ۱۰ میلی‌لیتر آب یون‌زدوده (محلول اول)، ۰٫۲ گرم (۰٫۹۵ میلی‌مول) لیگاند  $H_3BTC$  در ۱۰ میلی‌لیتر آب یون‌زدوده (محلول دوم) و ۰٫۰۶۶ گرم (۰٫۹۷ میلی‌مول) ایمیدازول در ۱۰ میلی‌لیتر آب یون‌زدوده (محلول سوم) به‌صورت جداگانه تهیه، به ظرف دم‌فشار منتقل و به مدت ۱۰ دقیقه با همزن مغناطیسی به‌خوبی مخلوط شدند. سپس، واکنش در دمای ۸۵ درجه سلسیوس به مدت سه شبانه روز در آون انجام شد. پس از گذشت این مدت، دم‌فشار از آون خارج و تا رسیدن به دمای محیط ثابت نگه‌داشته شد. در پایان بلورهای فراورده جدا و در آون خشک شدند [۱۳].

تهیه نانوذره‌های کیتوسان با روش ژل یونی

برای تهیه نانوذره‌های کیتوسان، مقدار ۰٫۰۳ گرم (۰٫۰۸۲ میلی‌مول) از سدیم تری‌پلی‌فسفات ( $STPP$ )<sup>۴</sup> در ۵ میلی‌لیتر آب یون‌زدوده حل و به‌صورت قطره‌قطره به ۰٫۰۲ گرم از کیتوسان حل‌شده در ۵ میلی‌لیتر محلول اسیدی (۱ درصد حجمی/حجمی استیک اسید) افزوده شد و با همزن مغناطیسی به مدت یک ساعت در دمای اتاق هم‌زده شد. رسوب ژله‌ای شیری رنگ

چارچوب فلز-آلی شامل یون مس و پلی‌دی‌متیل‌سیلوکسان (Cu-MOF@PDMS) را تهیه کردند. سپس لایه‌ای از کیتوسان به‌روش غوطه‌وری روی اسفنج‌های Cu-MOF@PDMS پوشانده شد. بررسی‌ها نشان داد کیتوسان اثر پادباکتریایی اسفنج‌های Cu-MOF@PDMS را در برابر باکتری *اشریشیا کلی* و *استافیلوکوکوس اورئوس* افزایش می‌دهد [۱۶].

N-استیل‌سیستین یک اسید آمینه با ویژگی پادانقادی و فعالیت پاداکسندگی است که به بازسازی بافت کمک می‌کند و برای چندین دهه در اقدامات درمانی به‌عنوان مهارکننده گونه‌های فعال اکسیژن، استفاده شده است [۱۷]. بسیاری از پژوهشگران پیشنهاد کرده‌اند که نانوذره‌های کیتوسان (CSNPs) و مشتق‌های آن نیز یکی از بهترین نانومواد برای فعالیت پادباکتری است که استفاده زیستی از آن به تنهایی یا در ترکیب با سایر ترکیب‌ها، دارای اثرهای بازدارنده در برابر هر دو گروه از باکتری‌های گرم منفی و گرم مثبت هستند [۱۸].

در این کار پژوهشی، چندسازه‌های فیبری با ویژگی پادباکتری شامل پلی‌اکریلونیتریل، چارچوب فلز-آلی نقره، نانوذره‌های کیتوسان و N-استیل‌سیستین ( $NAC$ )<sup>۲</sup> تهیه شدند. پس از شناسایی چندسازه‌های فیبری موردنظر با طیف‌سنجی فرسرخ تبدیل فوریه (FTIR)، پراش پرتو ایکس (XRD)، میکروسکوپی الکترونی روبشی (SEM) و نگاشت عنصری<sup>۳</sup> (با به‌کارگیری طیف‌شناسی تفکیک انرژی (EDS))، فعالیت پادباکتری آن‌ها در برابر باکتری‌های *اشریشیا کلی* و *استافیلوکوکوس اورئوس* ارزیابی شد. زخم‌پوش‌های تهیه‌شده فعالیت پادباکتری مناسبی نشان دادند.

## بخش تجربی

مواد شیمیایی و دستگاه‌ها

1. Chitosan nanoparticles (CSNPs)

2. N-acetylcysteine (NAC)

3. Elemental mapping

4. Sodium tripolyphosphate (STPP)

سرنگ منتقل شد. نانوجندسازهای فیبری PAN/5%CSNPs به مدت ۲ ساعت روی فویل آلومینیم جمع‌آوری شد. نمونه‌هایی با درصد جرمی ۱۰ و ۲۰ از کیتوسان نیز با این روش تهیه شدند.

#### تهیه نانوجندسازهای فیبری PAN/x%Ag-MOF/20%CSNPs

به منظور تهیه نانوجندسازهای PAN/0.5%Ag-MOF/20%CSNPs، ابتدا ۳ میلی‌گرم از چارچوب فلز-آلی Ag-MOF در ۳ میلی‌لیتر از دی‌متیل‌فرامید به مدت ۲۲ دقیقه زیر امواج فراصوت قرار گرفت. نانوذره‌های کیتوسان (۲۰ درصد جرمی) به محلول ۰/۶ گرم از PAN حل شده در ۳ میلی‌لیتر از حلال دی‌متیل‌فرامید، افزوده شد. این مخلوط تا به دست آمدن نمونه به طور کامل همگن، هم‌زده شد. در پایان، نانوجندسازهای فیبری مخلوط به دست آمده، با فرایند الکتروریسی در شرایط یادشده با ضخامت دلخواه تهیه شدند.

#### تهیه نانوجندسازهای فیبری PAN/x%NAC

برای تهیه نمونه با غلظت ۱۰ درصد جرمی از N-استیل-سیستین، PAN/10%NAC، مقدار ۰/۰۷ گرم از N-استیل‌سیستین در ۱ میلی‌لیتر از دی‌متیل‌فرامید حل و به ۰/۶ گرم PAN حل شده در ۵ میلی‌لیتر از دی‌متیل‌فرامید افزوده و هم‌زده شد. در پایان، نانوجندسازهای فیبری با انجام فرایند الکتروریسی در شرایط یادشده با ضخامت دلخواه تهیه شد. نمونه با غلظت ۵ درصد جرمی از NAC نیز مشابه روش شرح داده شده تهیه شد.

#### تهیه نانو چند سازه‌های فیبری PAN/0.5%Ag-MOF/10%NAC

برای تهیه این نانوجندساز، مقدار ۳ میلی‌گرم از چارچوب‌های فلز-آلی Ag-MOF در ۳ میلی‌لیتر حلال دی‌متیل‌فرامید به مدت ۲۲ دقیقه زیر امواج فراصوت پراکنده شد. در ادامه ۰/۰۷ گرم از N-استیل‌سیستین در ۱ میلی‌لیتر از دی‌متیل‌فرامید حل شد. سپس، نمونه‌های فوق به ۰/۶ گرم از

به دست آمده، به کمک گریزانه جدا و سه بار با آب یون‌زدوده و یک بار با اتانول شسته شد [۱۹].

#### تهیه نانوالیاف PAN

برای تهیه نانوالیاف پلی‌اکریلونیتریل، ۰/۶ گرم از پلی‌اکریلونیتریل در ۵ میلی‌لیتر دی‌متیل‌فرامید (DMF) حل و ۲۴ ساعت در دمای اتاق با همزن مغناطیسی هم‌زده شد. سپس، محلول به دست آمده در شرایط دستگاهی مناسب (ولتاژ ۱۸ kV، سرعت تزریق  $1 \text{ ml h}^{-1}$ ، فاصله نازل تا جمع‌کننده ۱۰ میلی‌متر)، دو ساعت الکتروریسی شد. در پایان فیبرهایی با ضخامت مناسب روی فویل آلومینیمی تشکیل شد.

#### تهیه نانوجندسازهای فیبری PAN/x%Ag-MOF

نانوجندسازهای فیبری پلی‌اکریلونیتریل شامل چارچوب‌های فلز-آلی Ag-MOF (با درصدهای متفاوت ۰/۵، ۱/۲۵، ۵، ۱۰، ۲۰ و ۳۰) به وسیله دستگاه الکتروریسی تهیه شدند. برای مثال، به منظور تهیه نمونه ۵ درصد جرمی، مقدار ۰/۰۳ گرم از Ag-BTC در ۵ میلی‌لیتر دی‌متیل‌فرامید تحت تابش‌دهی امواج فراصوت به مدت ۲۲ دقیقه پراکنده شد. سپس ۰/۶ گرم از بسیار پلی‌اکریلونیتریل افزوده و برای همگن شدن مخلوط، به مدت یک شبانه روز در دمای اتاق با همزن مغناطیسی هم‌زده شد. نمونه به دست آمده برای فرایند الکتروریسی، به سرنگ منتقل و تحت شرایط یادشده، الکتروریسی شد. بقیه نمونه‌ها با درصدهای جرمی متفاوت از چارچوب فلز-آلی Ag-MOF نیز با این روش تهیه شدند.

#### تهیه نانوجندسازهای فیبری PAN/x%CSNPs

برای تهیه نانوجندساز PAN/5%CSNPs، ابتدا ۰/۰۳ گرم نانوذره‌های کیتوسان در ۲ میلی‌لیتر دی‌متیل‌فرامید به مدت ۲۲ دقیقه درون حمام فراصوت قرار داده شد. سپس، این نمونه به ۰/۶ گرم از بسیار پلی‌اکریلونیتریل حل شده در ۳ میلی‌لیتر حلال دی‌متیل‌فرامید افزوده شد و در شرایط محیط به مدت یک شبانه روز هم‌زده شد. در پایان تعلیق مورد نظر برای انجام فرایند الکتروریسی با شرایط دستگاهی یادشده، به

تهیه، شناسایی و بررسی فعالیت پادباکتری چندسازه‌های فیبری...

شد. در این آزمایش، ابتدا باکتری‌های مذکور در محیط کشت نوترینت آگار به مدت ۲۴ ساعت دمای ۳۷ درجه سلسیوس رشد داده شدند. سپس، تعلیقه‌های از کلنی‌های باکتری با کدورت ۰/۵ مک فارلند (حدود  $1.5 \times 10^8$  CFU ml<sup>-1</sup>) در فسفات بافر سالین<sup>۱</sup> (pH برابر با ۷/۴) تهیه شد. به هر لوله آزمایش حاوی ۴ میلی‌لیتر از تعلیقه سلول‌های باکتری، نمونه‌ای از نانوجندسازه‌های فیبری با ابعاد  $2 \times 2$  cm<sup>2</sup> افزوده شد. در مرحله بعد، گرمادهی در گرم‌خانه تکانه‌دهنده با دور ۱۷۰ rpm به مدت ۴ ساعت در دمای ۳۷ درجه سلسیوس، انجام شد. برای محاسبه واحدهای شمارش کلنی، از تعلیقه‌های سلولی تیمار شده و تیمار نشده، رقت‌های سریال (با نسبت ۱/۱۰) تهیه و روی نوترینت آگار کشت داده شد. در نهایت پس از انکوباسیون به مدت ۲۴ ساعت در دمای ۳۷ درجه سلسیوس، کلنی‌های رشد کرده و بر سطح محیط کشت شمارش شدند [۲۰ تا ۲۲].

### نتیجه‌ها و بحث

در این کار پژوهشی، ابتدا چارچوب فلز-آلی Ag-MOF با لیگاند BTC و ایمیدازول با روش آب‌گرمایی سنتز شد. سپس نانوجندسازه‌های فیبری این چارچوب فلز-آلی با بسپار پلی‌اکریلونیتریل و ترکیب‌های پادباکتری شامل نانوذره‌های کیتوسان و N-استیل‌سیستین با درصدهای وزنی متفاوت به صورت جداگانه و ترکیبی، با دستگاه الکترورسی تهیه شدند. روش‌های XRD، FTIR، SEM و نگاشت عنصری برای شناسایی این ترکیب‌ها به کار گرفته شد. آزمون‌های ویژگی پادباکتری آن‌ها در برابر دو باکتری گرم منفی *اشریشیا کلی* و گرم مثبت *استافیلوکوکوس اورئوس* بررسی شد.

بررسی طیف‌های فرسوخ تبدیل فوریه (FTIR)

طیف فرسوخ تبدیل فوریه نانوجندسازه فیبری PAN/0.5% Ag-MOF/10%CSNPs/5%NAC و ترکیب‌های اولیه آن در

PAN حل شده در ۵ میلی‌لیتر از حلال دی‌متیل‌فرمامید افزوده شد و در پایان نانوجندسازه فیبری با ضخامت دلخواه با انجام فرایند الکترورسی در شرایط یادشده تهیه شد.

تهیه نانوجندسازه‌های فیبری PAN/x%CSNPs/x%NAC

برای تهیه این نانوجندسازه‌ها، درصدهای متفاوتی از NAC و نانوذره‌های کیتوسان (۱۰، ۵ و ۱۰، ۱۰ و ۵) تهیه شدند. برای مثال، برای تهیه نانوجندسازه PAN/10%CSNPs/10%NAC، مقدار ۰/۰۷ گرم از NAC در ۱ میلی‌لیتر حلال دی‌متیل‌فرمامید حل و همراه با نانوذره‌های کیتوسان با غلظت ۱۰ درصد جرمی به ۰/۶ گرم از PAN حل شده در ۵ میلی‌لیتر حلال دی‌متیل‌فرمامید افزوده شد و تا همگن شدن نمونه، با همزن مغناطیسی هم‌زده شد. برای تهیه نانوجندسازه فیبری، دستگاه الکترورسی با شرایط یادشده به کار گرفته شد.

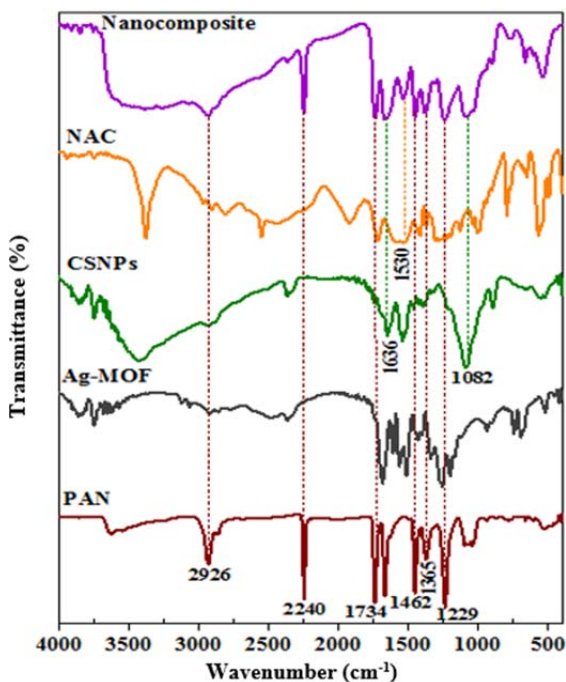
تهیه نانوجندسازه فیبری PAN/0.5%Ag-MOF/10%CSNPs/5%NAC

برای تهیه نانوجندسازه PAN/0.5%Ag-MOF/10%CSNPs/5%NAC، سه نمونه شامل نانوذره‌های کیتوسان با غلظت ۱۰ درصد جرمی (۱)، ۳ میلی‌گرم از چارچوب‌های فلز-آلی Ag-MOF پراکنده شده در ۳ میلی‌لیتر DMF (۲) و ۰/۰۳ گرم از NAC حل شده در ۱ میلی‌لیتر حلال دی‌متیل‌فرمامید (۳)، به ۰/۶ گرم از PAN حل شده در ۲ میلی‌لیتر حلال دی‌متیل‌فرمامید افزوده شد و به مدت ۲۴ ساعت برای همگن شدن، با همزن مغناطیسی هم‌زده شد. در پایان، نانوجندسازه‌های فیبری با ضخامت دلخواه با دستگاه الکترورسی و شرایط دستگاهی یادشده، تهیه شدند.

بررسی اثر پادباکتری نانوجندسازه‌های تهیه شده

اثر پادباکتری نانوجندسازه‌های فیبری تهیه شده در برابر باکتری‌های *اشریشیا کلی* و *استافیلوکوکوس اورئوس* بررسی

1. Phosphate-Buffered Saline (PBS)



شکل ۱ طیف‌های FTIR نانوجندسازه فیبری PAN/0.5%Ag-MOF/10%CSNPs/5%NAC و ترکیب‌های اولیه آن

#### بررسی الگوهای پراش پرتو ایکس (XRD)

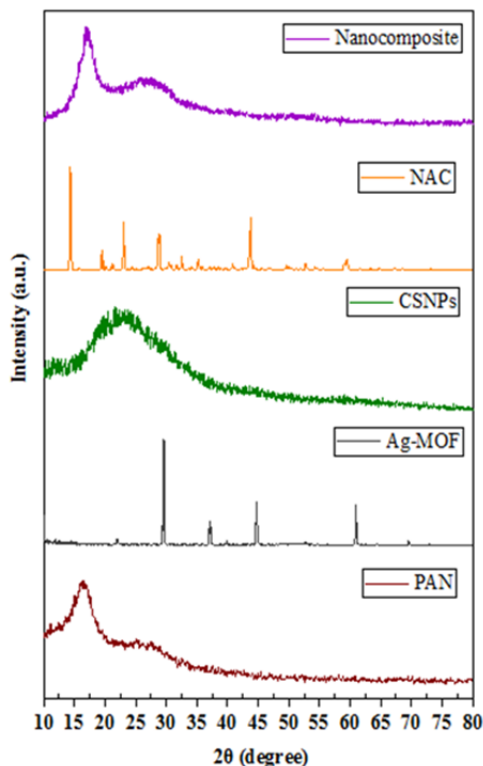
شکل ۲ الگوهای XRD ترکیب‌های تهیه‌شده را نشان می‌دهد. الگوی پراش پرتو ایکس PAN خالص، حاکی از ساختار به‌تقریب آریخت بسیار است [۲۷ و ۲۸]. الگوی پراش پرتو ایکس ترکیب NAC همان‌گونه که انتظار می‌رود به روشنی بیانگر بلوری بودن NAC است [۲۹]. در الگوی پراش پرتو ایکس چندسازه نهایی، چون مقدار چارچوب فلز-آلی و NAC نسبت به بسیار پلی‌اکریلونیتریل بسیار کمتر است و الگوهای این اجزا قابل مشاهده نیست.

شکل ۱ آورده شده است. در طیف FTIR فیبر خالص PAN، نوارهای موجود در ۱۲۲۹، ۱۷۳۴ و ۲۲۴۰  $\text{cm}^{-1}$  به‌ترتیب به ارتعاش‌های کششی پیوند C=O، C-H و گروه نیتریل ( $\text{C}\equiv\text{N}$ ) واحدهای اکریلونیتریل در زنجیره‌های بسیار نسبت داده می‌شوند. همچنین، نوارهای پدیدار شده در ۱۴۶۲ و ۱۳۶۵  $\text{cm}^{-1}$  به ارتعاش‌های خمشی و گهواره‌ای  $\text{CH}_2$  مربوط هستند. نوارهای مربوط به ارتعاش‌های گروه آمیدی و  $\text{-CH}_2$  نیز به‌ترتیب در ۱۶۶۲ و ۲۹۲۶  $\text{cm}^{-1}$  نمایان شده‌اند [۲۳ و ۲۴]. در طیف Ag-MOF، نوارهای پدیدار شده در ۱۴۲۸ و ۱۵۶۰  $\text{cm}^{-1}$  به‌ترتیب به ارتعاش کششی C-C و C-O لیگاند کربوکسیلاتی نسبت داده می‌شوند. نوارهای بارز پدیدار شده در ۷۵۰ و ۳۱۲۶  $\text{cm}^{-1}$  مربوط به ارتعاش کششی C-H و Ag-O هستند. نوار مربوط به ارتعاش‌های کششی گروه‌های C=O و C=N مربوط به لیگاند ایمیدازول در ۱۶۷۷ مشاهده شده است (۱۳). در طیف FTIR کیتوسان، نوارهای ۳۴۳۵ و ۱۰۷۷  $\text{cm}^{-1}$  مربوط به ارتعاش‌های کششی OH- و C-O هستند. ارتعاش‌های همین پیوندها در طیف FTIR نانوذره-های کیتوسان، به‌ترتیب در ۳۴۰۴ و ۱۰۸۲  $\text{cm}^{-1}$  پدیدار می‌شوند. نوارهای نمایان شده در ۱۶۴۲ و ۱۵۴۲  $\text{cm}^{-1}$  به‌ترتیب به ارتعاش خمشی گروه آمین ( $\text{-NH}_2$ ) نسبت داده می‌شوند. نوار مشخصه پدیدار شده در ۱۶۳۶  $\text{cm}^{-1}$  به برهم‌کنش الکترواستاتیکی بین گروه فسفات سدیم تری‌پلی‌فسفات و گروه آمین کیتوسان مربوط هستند (۲۵). در طیف NAC، نوار مربوط به ارتعاش کششی پیوند N-H در ۳۳۷۱  $\text{cm}^{-1}$  و ارتعاش کششی پیوند S-H در ناحیه ۲۵۴۶  $\text{cm}^{-1}$  پدیدار شده‌اند. نوارهای نمایان شده در ۱۷۱۴، ۱۵۶۰ و ۱۵۳۰  $\text{cm}^{-1}$  به‌ترتیب به ارتعاش‌های کششی گروه کربوکسیلیک اسید C=O، آمید I و آمید II مربوط می‌شوند که در طیف مربوط به نانوجندسازه‌های نهایی نیز برخی از این نوارهای بارز نمایان شده‌اند که گواه تهیه موفقیت آمیز چندسازه‌ها هستند [۲۶]. نوارهای مشخصه چارچوب فلز-آلی نقره به‌دلیل درصد وزنی کم آن، در طیف نانوجندسازه‌ها قابل مشاهده نیستند.

نقره و PAN (شکل ۳-ب) نیز ساختاری همگن و مترکم را نشان می‌داد. تصویر ترکیب حاوی PAN، چارچوب فلز-آلی نقره و نانوذره‌های کیتوسان (شکل ۳-ج) بیانگر این بود که بارگذاری نانوذره‌ها موجب کاهش قطر ساختار فیبر شده بود. تصویر SEM ترکیب شامل PAN، NAC و چارچوب فلز-آلی نقره (شکل ۳-د) نشان داد که افزودن NAC می‌تواند گرانروی تعلیقه را افزایش داده، موجب درهم‌تنیدگی زنجیره بسیار و در نتیجه افزایش میانگین قطر فیبر شود. در تصویر SEM ترکیب شامل چهار جزء PAN، چارچوب فلز-آلی نقره، نانوذره‌های کیتوسان و NAC (شکل ۳-ه)، به دلیل اینکه NAC و نانوذره‌های کیتوسان با درصد کمتر بارگذاری شده بودند، تفاوتی در ساختار فیبر مشاهده نشد.

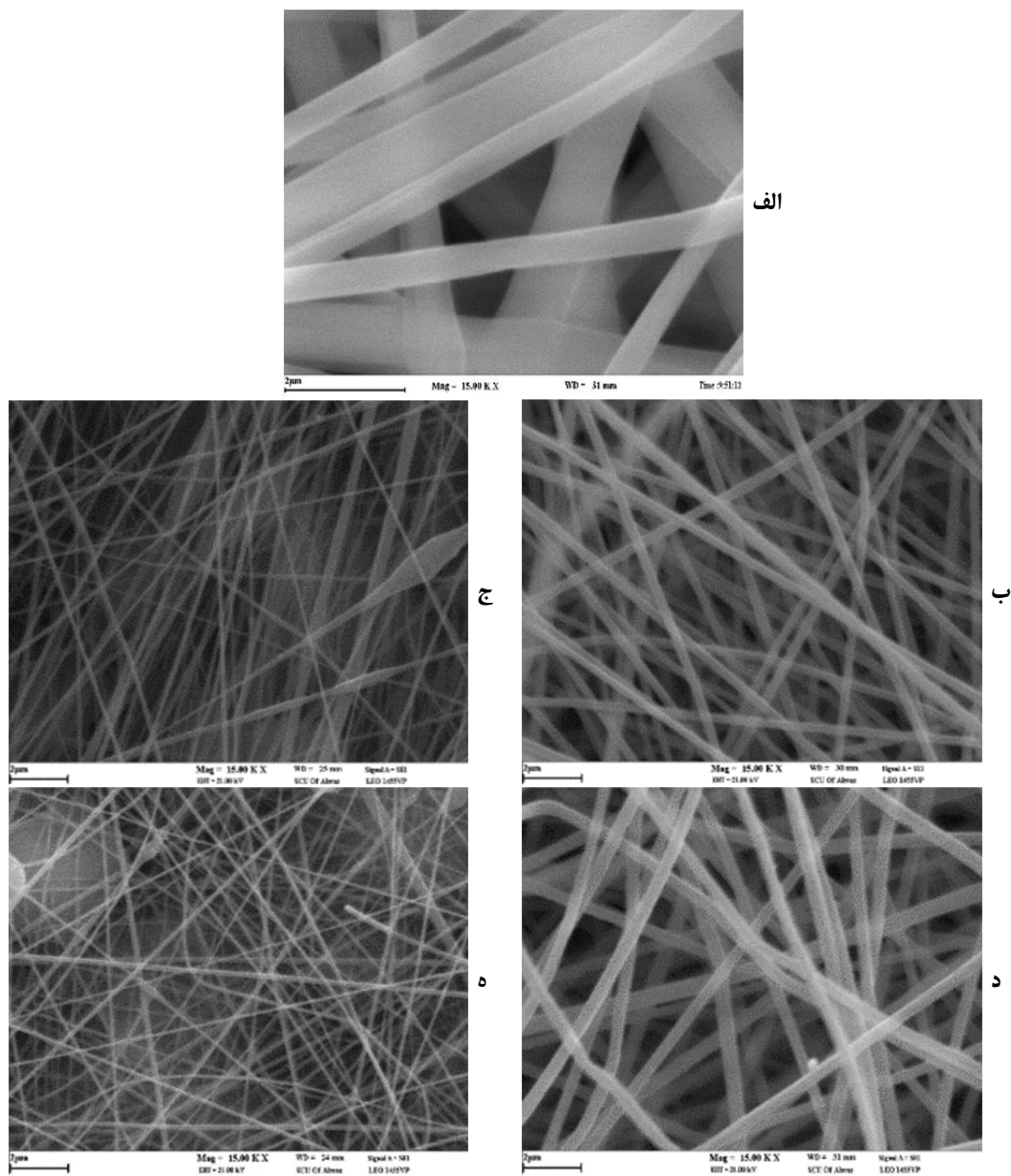
بررسی نگاشت‌های عنصری نانوجندسازه فیبری  
PAN/0.5%Ag-MOF

نگاشت‌های عنصری نانوجندسازه فیبری PAN/0.5%Ag-MOF در شکل ۴ نشان داده شده است. هر نقطه روشن، حضور عنصر موردنظر در آن ناحیه را مشخص می‌کند. با توجه به نگاشت‌های عنصری، پراکندگی عنصر کربن نسبت به عناصر دیگر بیشتر دیده شده است. همچنین، عدم تجمع ذره‌های چارچوب فلز-آلی نقره در بستر بسیار پلی‌اکریلونیتریل و پراکندگی به نسبت یکنواخت عنصر نقره نیز با وجود درصد پایین قابل مشاهده است.



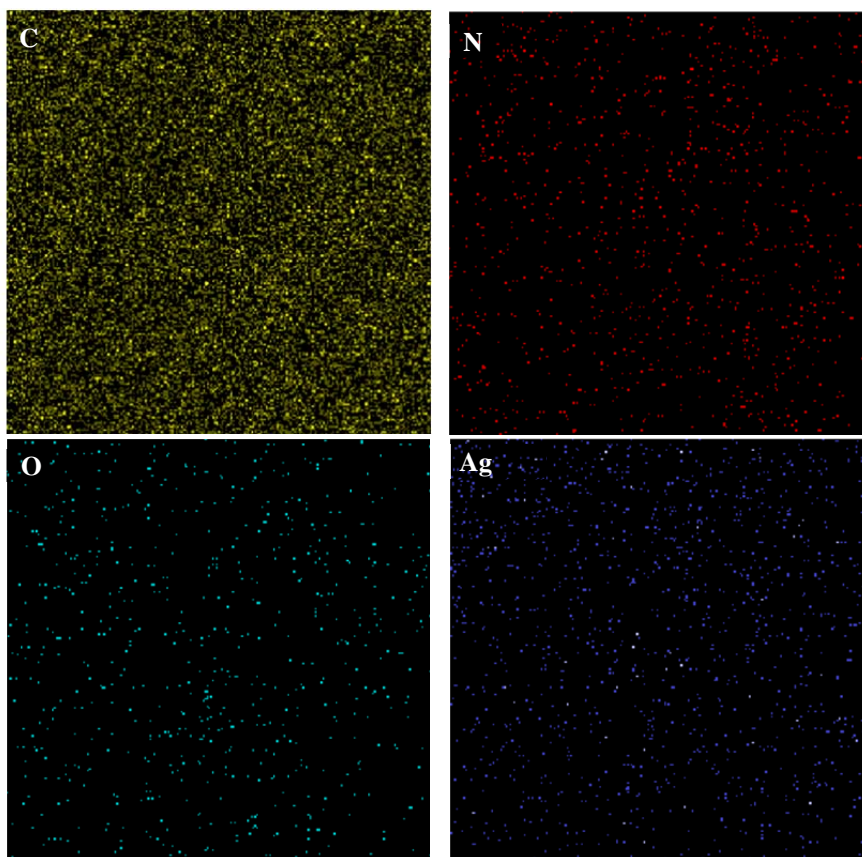
شکل ۲ گویهای پراش پرتو ایکس نانوجندسازه فیبری PAN/0.5% Ag-MOF/10%CSNPs/5%NAC و ترکیب‌های اولیه آن

بررسی تصویرهای میکروسکوپ الکترونی روبشی (SEM) بررسی ریخت و شکل ظاهری ترکیب‌های تهیه شده به کمک میکروسکوپ الکترونی روبشی (SEM) صورت گرفت (شکل ۳). با توجه به تصویرهای SEM، نانوفیبر تهیه شده از PAN ساختار همگن، سطح صاف با میانگین قطر ۴۰۰ نانومتر داشت (شکل ۳-الف). تصویر چندسازه حاوی چارچوب فلز-آلی



شکل ۳ تصویرهای SEM فیبر خالص PAN (الف)، PAN/0.5%Ag-MOF (ب)، PAN/0.5%Ag-MOF/20%CSNPs (ج)، PAN/0.5%Ag-MOF/10%NAC (د) و PAN/0.5%Ag-MOF/10%CSNPs/5%NAC (ه)





شکل ۴ نگاشت‌های عنصری نانوپندسازه فیبری PAN/0.5%Ag-MOF

افزون بر اثر پادباکتری، زیست‌سازگاری مناسب‌تری نیز داشته باشد. با توجه به این توضیحات، غلظت ۲۰ درصد جرمی از نانوذره‌های کیتوسان به نمونه PAN/0.5%Ag-MOF افزوده شد، با افزودن این ترکیب تعداد سلول‌های زنده باکتری افزایش یافت. در ادامه کار ترکیب NAC با غلظت ۱۰ درصد جرمی به نمونه PAN/0.5%Ag-MOF افزوده شد که نتیجه‌های بررسی‌ها، افزایش مرگ سلول‌های باکتری را نشان داد. در نهایت برای بررسی اثر چارچوب فلز-آلی نقره بر دو ترکیب پادباکتری، با نصف کردن درصد نانوذره‌های کیتوسان و NAC نمونه PAN/0.5%Ag-MOF/10%CSNPs/5%NAC تهیه

#### بررسی اثر پادباکتری

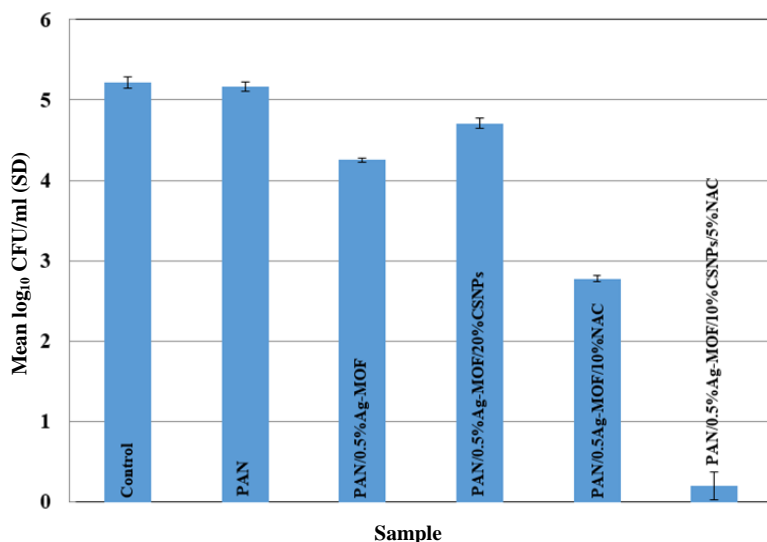
در این کار پژوهشی، برای بهینه‌سازی چندسازه شامل PAN و چارچوب فلز-آلی نقره، نمونه‌هایی با درصد‌های وزنی متفاوت ۰/۵، ۱/۲۵، ۱۰/۵، ۲۰ و ۳۰ درصد از چارچوب فلز-آلی نقره تهیه شدند. نتیجه‌های به‌دست‌آمده از آزمون‌های پادباکتری نشان داد نانوفیبرهای تهیه‌شده برای باکتری‌های موردآزمون کشنده هستند و به‌علت اینکه استفاده از بالاترین غلظت‌های یون فلزی سمیت بارزی خواهند داشت، نمونه ۰/۵ درصد به‌عنوان نمونه اصلی برای ادامه کار انتخاب شد. در ادامه از ترکیب‌های پادباکتری دیگر مانند نانوذره‌های کیتوسان و N-استیل سیستین استفاده شد تا چندسازه نهایی به‌دست‌آمده

نانوفیبر PAN/0.5%Ag-MOF/10%NAC نسبت به کنترل مقدار زیادی کاهش یافت. با توجه به این نمودار، با افزودن نانوذره‌های کیتوسان به نانوفیبر PAN/0.5%Ag-MOF، کارایی پادباکتری کاهش یافته است. در مورد سازوکار اثر پادباکتری این فیبر، به نظر می‌رسد اثر هم‌افزایی سه جزء Ag-MOF (به واسطه آزاد شدن یون‌های  $Ag^+$  و تولید گونه‌های فعال اکسیژن (ROS) و آسیب به غشای سلول باکتری)، CSNPs (از راه برهم‌کنش میان گروه‌های  $NH_3^+$  کیتوسان (بار مثبت) با غشای سلولی باکتری (بار منفی) و در پی آن اختلال در نفوذپذیری سلول) و NAC (به کمک برهم‌کنش میان گروه تیول (-SH) با پروتئین‌های دیواره سلولی) منجر به مرگ سلول باکتری/اشریشیا کلی می‌شود [۳۰ و ۳۱].

شد که نتیجه این بررسی موجب حذف کامل سلول‌های باکتری شد.

نتیجه‌های اثر پادباکتری فیبرهای تهیه‌شده در برابر باکتری اشریشیا کلی

با توجه به نتیجه‌های اثر پادباکتری فیبرهای تهیه‌شده در برابر باکتری اشریشیا کلی، فیبر PAN خالص در برابر سلول‌های باکتری اشریشیا کلی اثر پادباکتری نداشت (شکل ۵). بیشترین اثر در کاهش تعداد سلول‌های این باکتری مربوط به نانوفیبر PAN/0.5%Ag-MOF/10%CSNPs/5%NAC است. نانوفیبر PAN/0.5%Ag-MOF اثر پادباکتری چشمگیری در برابر سلول‌های باکتری اشریشیا کلی نشان نداد. درحالی‌که تعداد سلول‌های زنده باکتری در روبه‌رو شدن با



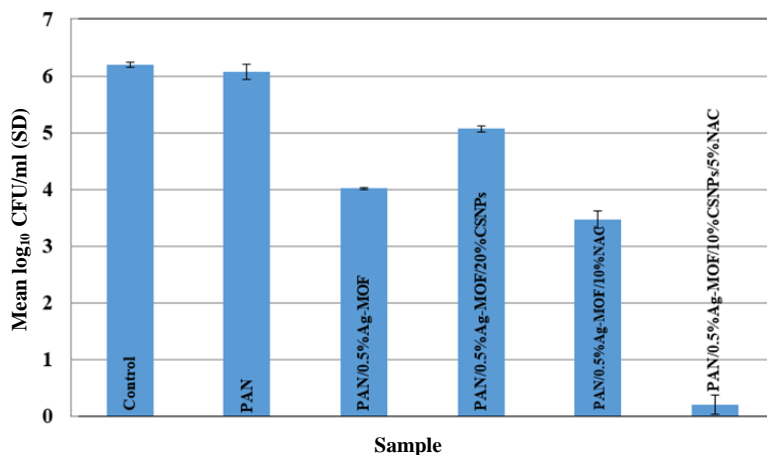
شکل ۵ بررسی اثر پادباکتری فیبر PAN خالص و نانوذره‌های شامل Ag-MOF، CSNPs و NAC در برابر باکتری اشریشیا کلی

بیشترین کاهش تعداد سلول‌های این باکتری، برای نانوفیبر PAN/0.5%Ag-MOF/10%CSNPs/5%NAC مشاهده شد. همچنین، مقدار بقای سلول‌های این باکتری برای نانوذره‌های فیبری PAN/0.5%Ag-MOF، PAN/0.5%Ag-

نتیجه‌های اثر پادباکتری فیبرهای تهیه‌شده در برابر باکتری استافیلوکوکوس اورئوس نتیجه‌های پادباکتری فیبرهای تهیه‌شده در برابر سلول‌های باکتری استافیلوکوکوس اورئوس در شکل ۶ نشان داده شده است.

تهیه، شناسایی و بررسی فعالیت پادباکتری چندسازه‌های فیبری...

نیز نسبت به کنترل کاهش یافت. PAN/0.5%Ag-MOF/10%NAC و MOF/20%CSNPs



شکل ۶ بررسی اثر پادباکتریایی نانوفیبرهای حاوی PAN، Ag-MOF، CSNPs، NAC و فیبر PAN خالص در برابر سلول‌های استافیلوکوکوس اورئوس

کیتوسان موجب کاهش کارایی پادباکتری نانوفیبر حاوی PAN و MOF شد. با افزودن N-استیل سیستین، نانوفیبر چهارجزئی به دست آمده کارایی پادباکتری چشمگیری نشان داد. مقایسه نتیجه‌های به دست آمده برای باکتری‌های گرم مثبت و گرم منفی از دید حساسیت به نانوفیبرهای مورد آزمون، نشان داد باکتری گرم مثبت استافیلوکوکوس اورئوس، حساسیت بیشتری نسبت به باکتری گرم منفی اشریشیا کلی داشت.

### سپاسگزاری

نویسندگان این مقاله مراتب تشکر از دانشگاه شهید چمران اهواز بخاطر حمایت‌های معنوی و مادی (SCU.SC1401.29011) را اعلام می‌دارند.

### نتیجه‌گیری

در این کار پژوهشی، چارچوب فلز-آلی نقره (I) از یون‌های نقره و لیگاندهای بنزن تری کربوکسیلات و ایمیدازول تهیه شد. چندسازه‌های فیبری چارچوب فلز-آلی نقره (I) و پلی‌اکریلونیتریل (PAN) نیز برای بررسی قابلیت استفاده به عنوان زخم‌پوش، از راه الکتروریسی تهیه شدند. به منظور افزایش عملکرد نانوفیبرهای تهیه شده، نانوذره‌های کیتوسان و N-استیل سیستین نیز به مخلوط چارچوب فلز-آلی نقره و اسپار PAN افزوده و سپس الکتروریسی شد. بهترین اثر پادباکتری نانوفیبرهای تهیه شده در حضور سه ترکیب با ویژگی پادباکتری (چارچوب فلز-آلی، نانوذره‌های کیتوسان و N-استیل سیستین) مشاهده شد. با این حال، افزودن نانوذره‌های

### مراجع

[1] Cancio LC, Wolf SE. A History of Burn Care. In: Jeschke MG, Kamolz LP, Sjobrg F, Wolf SE, editors. Handbook of Burns Volume 1. New York: Springer; 2019. p. 3-17.

[2] Liu X, Xu H, Zhang M, Yu DG. Electrospun Medicated Nanofibers for Wound Healing: Review. Membranes. 2021;11(10):770. doi: 10.3390/membranes1110077

- [3] Wang S, Yan F, Ren P, Li Y, Wu Q, Fang X, et al. Incorporation of metal-organic frameworks into electrospun chitosan/poly (vinyl alcohol) nanofibrous membrane with enhanced antibacterial activity for wound dressing application. *International Journal of Biological Macromolecules*. 2020;158:9-17. doi: **10.1016/j.ijbiomac.2020.04.116**
- [4] Ahmed R, Tariq M, Ali I, Asghar R, Noorunnisa Khanam P, Augustine R, et al. Novel electrospun chitosan/polyvinyl alcohol/zinc oxide nanofibrous mats with antibacterial and antioxidant properties for diabetic wound healing. *International Journal of Biological Macromolecules*. 2018;120:385-93. doi: **10.1016/j.ijbiomac.2018.08.057**
- [5] Terzopoulou A, Nicholas JD, Chen XZ, Nelson BJ, Pané S, Puigmartí-Luis J. Metal-Organic Frameworks in Motion. *Chem Rev*. 2020;120(20):11175-93. doi: **10.1021/acs.chemrev.0c00535**
- [6] Li R, Chen T, Pan X. Metal-Organic-Framework-Based Materials for Antimicrobial Applications. *ACS Nano*. 2021;15(3):3808-48. doi: **10.1021/acs.nano.0c09617**
- [7] Mendiratta S, Usman M, Lu KL. Expanding the dimensions of metal-organic framework research towards dielectrics. *Coordination Chemistry Reviews*. 2018;360:77-91. doi: **10.1016/j.ccr.2018.01.005**
- [8] Samuel MS, Jose S, Selvarajan E, Mathimani T, Pugazhendhi A. Biosynthesized silver nanoparticles using *Bacillus amyloliquefaciens*; Application for cytotoxicity effect on A549 cell line and photocatalytic degradation of p-nitrophenol. *Journal of Photochemistry and Photobiology B: Biology*. 2020;202:111642. doi: **10.1016/j.jphotobiol.2019.111642**
- [9] Shanmuganathan R, Karuppusamy I, Saravanan M, Muthukumar H, Ponnuchamy K, Ramkumar VS, et al. Synthesis of Silver Nanoparticles and their Biomedical Applications - A Comprehensive Review. *Current pharmaceutical design*. 2019;25(24):2650-60. doi: **10.2174/1381612825666190708185506**
- [10] Berchel M, Gall TL, Denis C, Hir SL, Quentel F, Elléouet C, et al. A silver-based metal-organic framework material as a 'reservoir' of bactericidal metal ions. *New Journal of Chemistry*. 2011;35(5):1000-3. doi: **10.1039/C1NJ20202B**
- [11] Pastore VJ, Cook TR. Coordination-Driven Self-Assembly in Polymer-Inorganic Hybrid Materials. *Chemistry of Materials*. 2020;32(9):3680-700. doi: **10.1021/acs.chemmater.0c00851**
- [12] Han H, Yang J, Li X, Qi Y, Yang Z, Han Z, et al. Shining light on transition metal sulfides: New choices as highly efficient antibacterial agents. *Nano Research*. 2021;14(8):2512-34. doi: **10.1007/s12274-021-3293-3**
- [13] Zhang S, Ye J, Sun Y, Kang J, Liu J, Wang Y, et al. Electrospun fibrous mat based on silver (I) metal-organic frameworks-poly(lactic acid) for bacterial killing and antibiotic-free wound dressing. *Chemical Engineering Journal*. 2020;390:124523. doi: **10.1016/j.cej.2020.124523**
- [14] Huang C, Xu X, Fu J, Yu D-G, Liu Y. Recent Progress in Electrospun Polyacrylonitrile Nanofiber-Based Wound Dressing. *Polymers (Basel)*. 2022;14(16):3266. doi: **10.3390/polym14163266**
- [15] Anyaegbu CE, Zhang H, Xiao J, Tao M, Ma N, Zhang W. Tertiary amine-bisquaternary ammonium functionalized polyacrylonitrile fiber for catalytic synthesis of pyran-annulated heterocycles. *Reactive and Functional Polymers*. 2022;172:105201. doi: **10.1016/j.reactfunctpolym.2022.105201**
- [16] Ansari-Asl Z, Shahvali Z, Sacourbaravi R, Hoveizi E, Darabpour E. Cu(II) metal-organic framework@Polydimethylsiloxane nanocomposite sponges coated by chitosan for antibacterial and tissue engineering applications. *Microporous and Mesoporous Materials*. 2022;336:111866. doi: **10.1016/j.micromeso.2022.111866**
- [17] Gomez-Aparicio LS, Bernáldez-Sarabia J, Camacho-Villegas TA, Lugo-Fabres PH, Díaz-Martínez NE, Padilla-Camberos E, et al. Improvement of the wound healing properties of hydrogels with N-acetylcysteine through their modification with methacrylate-containing polymers. *Biomaterials science*. 2021;9(3):726-44. doi: **10.1039/d0bm01479f**
- [18] Chandrasekaran M, Kim KD, Chun SC. Antibacterial Activity of Chitosan

- Nanoparticles: A Review. *Processes*. 2020;8(9):1173. doi: **10.3390/pr8091173**
- [19] Zhang M, Wang G, Wang D, Zheng Y, Li Y, Meng W, et al. Ag@MOF-loaded chitosan nanoparticle and polyvinyl alcohol/sodium alginate/chitosan bilayer dressing for wound healing applications. *Int J Biol Macromol*. 2021;175:481-94. doi: **10.1016/j.ijbiomac.2021.02.045**
- [20] Sharma S, Khan IA, Ali I, Ali F, Kumar M, Kumar A, et al. Evaluation of the antimicrobial, antioxidant, and anti-inflammatory activities of hydroxychavicol for its potential use as an oral care agent. *Antimicrobial agents and chemotherapy*. 2009;53(1):216-22. doi: **10.1128/aac.00045-08**
- [21] Miao W, Wang J, Liu J, Zhang Y. Self-Cleaning and antibacterial zeolitic imidazolate framework coatings. *Advanced Materials Interfaces*. 2018;5(14):1800167. doi: **10.1002/admi.201800167**
- [22] Yuan Y, Zhang Y. Enhanced biomimic bactericidal surfaces by coating with positively-charged ZIF nano-dagger arrays. *Nanomedicine: Nanotechnology, Biology and Medicine*. 2017;13(7):2199-207. doi: **10.1016/j.nano.2017.06.003**
- [23] Li W, Yang Z, Zhang G, Fan Z, Meng Q, Shen C, et al. Stiff metal-organic framework-polyacrylonitrile hollow fiber composite membranes with high gas permeability. *Journal of Materials Chemistry A*. 2014;2(7):2110-8. doi: **10.1039/C3TA13781C**
- [24] Karbownik I, Rac-Rumijowska O, Fiedot-Toboła M, Rybicki T, Teterycz H. The preparation and characterization of polyacrylonitrile-polyaniline (PAN/PANI) fibers. *Materials*. 2019;12(4):664. doi: **10.3390/ma12040664**
- [25] Behl G, Iqbal J, O'Reilly NJ, McLoughlin P, Fitzhenry L. Synthesis and characterization of poly(2-hydroxyethylmethacrylate) contact lenses containing chitosan nanoparticles as an ocular delivery system for dexamethasone sodium phosphate. *Pharmaceutical Research*. 2016;33(7):1638-48. doi: **10.1007/s11095-016-1903-7**
- [26] Ercan UK, Smith J, Ji H-F, Brooks AD, Joshi SG. Chemical changes in nonthermal plasma-treated N-acetylcysteine (NAC) solution and their contribution to bacterial inactivation. *Scientific Reports*. 2016;6(1):20365. doi: **10.1038/srep20365**
- [27] Dang W, Liu J, Huang X, Liang J, Wang C, Miao P, et al. Effects of  $\gamma$ -Ray irradiation on the radial structure heterogeneity in polyacrylonitrile fibers during thermal stabilization. *Polymers (Basel)*. 2018;10(9):943. doi: **10.3390/polym10090943**
- [28] Kuang Y, He H, Chen S, Wu J, Liu F. Adsorption behavior of CO<sub>2</sub> on amine-functionalized polyacrylonitrile fiber. *Adsorption*. 2019;25(4):693-701. doi: **10.1007/s10450-019-00070-0**
- [29] Su Y, Hessou EP, Colombo E, Belletti G, Moussadik A, Lucas IT, et al. Crystalline structures of l-cysteine and l-cystine: A combined theoretical and experimental characterization. *Amino Acids*. 2022;54(8):1123-33. doi: **10.1007/s00726-022-03144-6**
- [30] Manoharan A, Das T, Whiteley GS, Glasbey T, Kriel FH, Manos J. The effect of N-acetylcysteine in a combined antibiofilm treatment against antibiotic-resistant *Staphylococcus aureus*. *The Journal of antimicrobial chemotherapy*. 2020;75(7):1787-98. doi: **10.1093/jac/dkaa093**
- [31] Guarnieri A, Triunfo M, Scieuzo C, Ianniciello D, Tafi E, Hahn T, et al. Antimicrobial properties of chitosan from different developmental stages of the bioconverter insect *Hermetia illucens*. *Scientific Reports*. 2022;12(1):8084. doi: **10.1038/s41598-022-12150-3**

## Preparation, characterization, and investigation of antibacterial activity of polyacrylonitrile/silver metal-organic framework/chitosan nanoparticles/N-acetylcysteine multi-component fibrous composites

Z. Ansari-Asl<sup>1,\*</sup>, H. Rashidi-Kia<sup>2</sup>, E. Darabpour<sup>3</sup>

1. Associate Prof. of Department of Chemistry, Shahid Chamran University of Ahvaz, Ahvaz, Iran.

2. MSc Student of Department of Chemistry, Shahid Chamran University of Ahvaz, Ahvaz, Iran.

3. Assistant Prof. of Department of Biology, Shahid Chamran University of Ahvaz, Ahvaz, Iran.

**Abstract:** In this research, fibrous composites with antibacterial activities including polyacrylonitrile (PAN), chitosan nanoparticles (CSNPs), silver metal-organic framework, and N-acetylcysteine (NAC) were prepared by electrospinning method. The prepared fibers were studied using Fourier transform infrared spectroscopy (FTIR), X-ray diffraction (XRD), scanning electron microscopy (SEM), and elemental mapping using energy-dispersive X-ray spectroscopy (EDS). The obtained results of the antibacterial studies against *Escherichia coli* (*E. coli*) and *Staphylococcus aureus* (*S. aureus*) showed that the addition of silver metal-organic framework as well as the antibacterial compounds such as CSNPs and NAC led to the improvement of the antibacterial properties of the fibers. Therefore, these compounds have the potential to be used in medical fields such as wound healing.

**Keywords:** Metal-organic framework, Chitosan, N-acetylcysteine, Polyacrylonitrile, Composite, Antibacterial activity